

# Utózungési idő mérése

Mérési segédlet az Akusztika és hangtechnika laboratórium tárgy hallgatói számára

A mérési segédletet kidolgozta: Nagy Attila Balázs, Jenei-Kulcsár Dóra

## Tartalomjegyzék

<b>1. Bevezetés</b>	<b>1</b>
<b>2. Alapfogalmak</b>	<b>1</b>
<b>3. Az utózungési idő becslése</b>	<b>3</b>
3.1. A Sabine-féle megközelítés . . . . .	3
3.2. A modern teremakusztikai megközelítés . . . . .	4
3.2.1. A Sabine-féle megközelítés korlátai . . . . .	4
3.2.2. A modern teremakusztikai megközelítés . . . . .	5
<b>4. Az utózungési idő mérése</b>	<b>5</b>
4.1. A megszakított zaj módszere . . . . .	5
4.2. Az impulzusválasz-alapú módszer . . . . .	6
4.2.1. A módszer lényege . . . . .	6
4.2.2. Az impulzusválasz mérése . . . . .	7
<b>5. Ellenőrző kérdések</b>	<b>8</b>

## 1. Bevezetés

Jelen mérés célja, hogy megismertesse a hallgatókat a teremakusztikai alapfogalmakkal és azok gyakorlati alkalmazásával az utózungési idő mérésén keresztül.

A mérési útmutatóban először áttekintjük a mérés elvégzéséhez szükséges fogalmakat, majd ismertetjük az utózungési idő mérésének módszereit. Az útmutató végén megtalálhatóak a felkészülést segítő ellenőrző kérdések és a mérési feladatok.

## 2. Alapfogalmak

Szabad térbe helyezett **pontforrás** esetén a hang a forrásból sugárirányban, gömbszimmetrikusan terjed, azaz egy adott időpillanatban az azonos rezgési fázisban lévő akusztikai részecskék gömbfelületet alkotnak.

**Szabad térnek** nevezzük azt a hangteret, ahol a hang minden irányban akadálytalanul terjedhet, vagyis nem lép fel semmilyen visszaverődés (reflexió). Ebben az esetben könnyen belátható, hogy a felületegységen átáramló teljesítmény (**hangintenzitás**  $I$  [ $\text{W}/\text{m}^2$ ]), az (1) alakot ölti, az intenzitás a pontforrás által kisugárzott teljesítmény ( $P$  [ $\text{W}$ ]) és a gömb felületének ( $A$  [ $\text{m}^2$ ]) hányadosaként adódik:

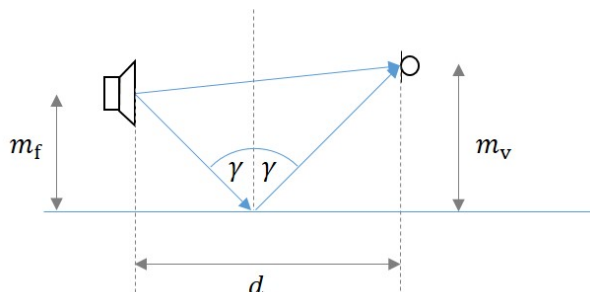
$$I = \frac{P}{A} = \frac{P}{4\pi r^2}, \quad (1)$$

ahol  $r$  [m] a forrástól való távolság.

Pontforrás esetén tehát a hangintenzitás egyenesen arányos a teljesítménnyel és fordítottan arányos a távolság négyzetével. Szabad hangtér a gyakorlatban nem létezik, de bizonyos esetekben jó közelítésként alkalmazható. Ilyen modellezési szituáció például az Alföld fölött nagy magasságban haladó repülőgép megfelelő

távolságban kialakuló hangtere. Laboratóriumi körülmények között előállítható szabad hangterű akusztikai mérőhelyiség, melyben a visszaverődés minden határoló felületről (padló, mennyezet és falak) közel zérusnak tekinthető (süketszoba).

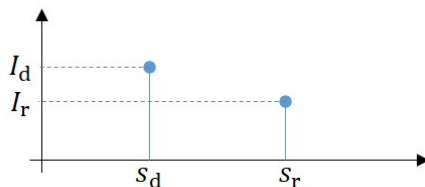
**Félszabad hangtérről** beszélünk abban az esetben, ha a térrésziünket az egyik oldalról egy végtelen reflektáló sík határolja, míg a többi irányban akadálytalanul terjedhet a hanghullám. A visszaverő sík következtében két hangút alakulhat ki, azaz az  $m_f$  magasságban elhelyezett pontforrástól  $d$  távolságban  $m_v$  magasságban lévő megfigyelési pontban mérhető hangintenzitást nem csak a **direkt hang**, hanem a felületről **visszavert hang** is befolyásolja (ld. 1. ábra).



1. ábra. Reflexió végtelenül merev síkról félszabad hangterben.

Teremakusztikában elterjedten alkalmazott közelítés, hogy a hanghullám terjedése hasonló a fény viselkedéséhez. Ezek alapján feltételezzük, hogy a hang egyenes vonalban terjed, és egy végtelenül merev síkról való reflexió esetén a beesési és visszaverődési szögek ( $\gamma$ ) azonosak. Így a visszavert úthossz a geometriai adatokból (itt  $m_f$ ,  $m_v$  és  $d$ ) közvetlenül meghatározható.

Abban az esetben, ha feltételezzük, hogy a teljes hangenergia visszaverődik, akkor a visszavert hang úgy viselkedik, mintha a hangforrás távolabb helyezkedett volna el, azaz a hangintenzitás a visszavert úthossznak megfelelő mértékben csökken (ld. 2. ábra).

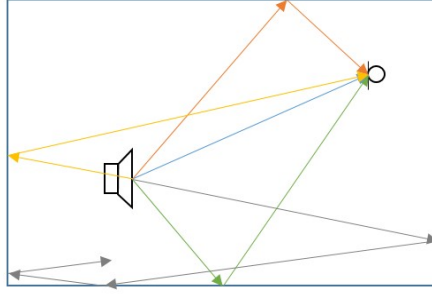


2. ábra. A hangintenzitás a direkt (d) és a visszavert (r) hangúton.

A valóságban ez az idealizált eset tisztán nem valósul meg, hiszen a visszaverődés során a felületen hangelnyelődés történik. Gyakorlati alkalmazására egy példa a félszabad hangterű akusztikai mérőhelyiség (félsüket szoba), amelyben a padló közel tökéletesen reflektáló, míg a falak és a mennyezet – kialakításukból adódóan – közel tökéletesen elnyelők. Mivel nincs más reflexió, a padlóról való visszaverődés utófeldolgozás során figyelembe vehető.

A visszaverődéseknek nem csak nemkívánt hatása lehet. **Haas-hatásnak** nevezzük azt a jelenséget, amikor a fülünkkel két hangeseményt nagyon rövid időn belül érzékelünk. Ha az események közti időkülönbség eléggé kicsiny, akkor a két eseményt nem tudjuk megkülönböztetni, hanem a hangenergiájuk összeadódik az észlelés szempontjából. Ha nagyobb időkülönbséggel érkeznek, akkor külön hangeseményként érzékeljük őket, mely zavarhatja a beszédérthetőséget. A két esemény megkülönböztethetőségének határa kb. 50 ms időkülönbség.

Dirac-gerjesztés (időbeli impulzusgerjesztés) feltételezése mellett definiálhatjuk a **beszéd célú hang-**



3. ábra. Hang terjedésének szemléltetése zárt térben.

**tisztaságot** ( $D_{50}$ , *Deutlichkeit*)

$$D_{50} = \frac{E_{0-50}}{E_{\text{tot}}} = \frac{\int_0^{50 \text{ ms}} h^2(t) dt}{\int_0^{\infty} h^2(t) dt}, \quad (2)$$

mely a terem  $h(t)$  impulzusválaszában az első 50 ms-ra eső energia és a teljes energia arányát adja meg. (A jel pillanatnyi teljesítményét pedig a hangnyomásjel négyzetével becsljük.) A hangtisztaság paramétert általában %-ban adjuk meg. Minél magasabb értéket vesz fel, annál jobb a beszédérthetőség.

Hasonlóképpen definiálható a **zene célú hangtisztaság** (*clarity*)

$$C_{80} = 10 \log_{10} \frac{E_{0-80}}{E_{80-\infty}}, \quad (3)$$

mely az első 80 ms-ban érkezett energiát hasonlítja össze a később érkezett energiamennyiséggel.

Abban az esetben, ha egy térrészt minden irányból egy visszaverő síkokkal határolunk, zárt térbeli hangterjedésről beszélünk. Ekkor a térrész (terem, szoba) minden faláról tökéletes a visszaverődés, a pontforrásból a vevőbe a direkt hangon kívül egyszeresen és többszörösen visszavert hanghullámok jutnak el, így többutas hangterjedésről beszélünk (ld. 3. ábra). A reflektáló határoló felületek miatt a hangenergia teljesen ki fogja tölteni a rendelkezésre álló teret, a visszaverődések összemosódnak, a forrás „mindenholnan” szól. *A hangenergia lokális, térbeli átlaga független a pozíciótól.* Az ilyen hangteret **diffúz hangtérnek** nevezzük.

### 3. Az utózengési idő becslése

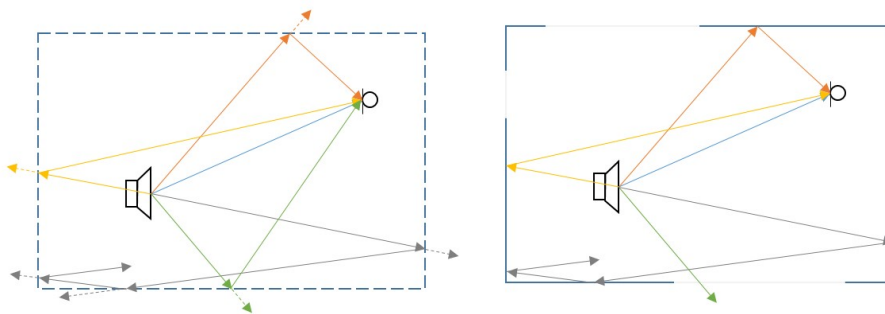
#### 3.1. A Sabine-féle megközelítés

A **Sabine-féle megközelítés** a diffúz hangtér definíciójából indul ki. Feltételezi, hogy a hangenergia terembeli eloszlása nem függ a tértől és időtől. Azokat a kis térrészeket, ahol ez nem teljesül, például a térben lévő tárgyak vagy a falak közelsége miatt, az egyszerűség kedvéért kizárja a vizsgálatból.

A megközelítés alapvetően a térrészt mint „hangenergia-tartályt” képzei el. Ebből következően az egyedüli akusztikai jellemzőnk, amivel dolgozni tudunk az a hangenergia, mely arányos a teremben lévő hangnyomás négyzetével. Ugyanakkor a feltételezés figyelembe veszi, hogy a visszaverődések során energia nyelődik el. A Sabine-féle megközelítés szerint ez az elnyelődés kizárólag a falakon történő visszaverődések során történik, így például azt, hogy a rezgésállapot terjedése közben a levegőrészecskék sűrűsége miatt a hangenergia csökken, kizárja a vizsgálatból.

A falak hangelnyelési képességét az **elnyelési tényezővel** ( $\alpha$ ) jellemezzük. Az elnyelési tényező dimenziótlan mennyiség, az elnyelt és beeső hangenergia arányát adja meg, 0 és 1 között vehet fel értéket. A  $\alpha = 0$  érték esetén a beeső hangenergia egyáltalán nem nyelődik el, azaz veszteség nélkül visszaverődik, míg az  $\alpha = 1$  érték fejezi ki, hogy a beeső hangenergia teljes mértékben elnyelődik az adott felületen, így visszaverődés nem történik. Az elnyelési tényezőt szokás százalékban is megadni. (Megjegyezzük, hogy a gyakorlatban az elnyelési tényező függ a frekvenciától.)

A Sabine-féle megközelítésben nem teszünk különbséget a falak között. A teret az átlagos elnyelési tényezővel jellemezzük ( $\bar{\alpha}$ ), melyet az egyes felületek elnyelési tényezőinek felületarányos súlyozott átlagaként számíthatunk ki.



4. ábra. A Sabine-féle megközelítés és az ekvivalens elnyelő felület szemléltetése.

A forrás bekapcsolását követően adott idő elteltével kialakul az adott térrészt jellemző egyensúlyi állapot: pontosan annyi energia nyelődik el a falakon, mint amennyit a hangforrás hozzáad a teremhez. Az egyensúlyi állapotban a teremben lévő energiasűrűség egyetlen átlagos energiasűrűséggel ( $\bar{w}$ ) adható meg. Ha a forrást kikapcsoljuk, a teremben lévő elnyelés miatt a teremben lévő energia csökkenni kezd, a csökkenés időben exponenciális. A csökkenés jellemző az adott térrészre. (Megjegyezzük, hogy abból, hogy az elnyelési tényező frekvenciafüggő mennyiség, következik az is, hogy a lecsengés is frekvenciafüggő lesz.) A kikapcsolástól eltelt időt, ami alatt az átlagos energia egymilliomod részére csökken, **utózungési időnek** ( $RT$ , *reverberation time*) nevezzük. Az utózungési idő a (4) egyszerűsített képlet alapján számítható, melyben  $V$  [m<sup>3</sup>] jelöli a térrész térfogatát és  $A_s$  [m<sup>2</sup>] az ekvivalens elnyelési felületet.

$$RT = 0,16 \cdot \frac{V}{A_s} \quad [\text{s}] \quad (4)$$

(Az utózungési időt így másodperc egységben kapjuk. A dimenziók közötti átváltást a 0,16 konstans rejti magában, melynek egysége itt [s/m].)

Az **ekvivalens elnyelési felület** (*absorption surface*) azt fejezi ki, hogy a térrészt határoló felület mekkora tökéletesen elnyelő ( $\alpha = 1$ ) felülettel helyettesíthető. Mivel az átlagos elnyelési tényező egy arányszámot fejezett ki, így a teljes felülettel vett szorzatával az ekvivalens elnyelési felület meghatározható:

$$A_s = S \cdot \bar{\alpha}. \quad (5)$$

Az ekvivalens elnyelési felület megnevezés helyett sok esetben használják az **ekvivalens nyitott ablak** vagy a **terem elnyelési képessége** elnevezést.

Az utózungési időre vonatkozó összefüggést Wallace Clement Sabine (1868–1919) fogalmazta meg 1900-ban. Kísérletei során orgonasípokot szólaltatott meg, és különböző termekben mérte a keltett hang lecsengési idejét. Munkássága megtalálható az 1922-ben megjelent „Collected Papers on Acoustics” című könyvében [1].

## 3.2. A modern teremakusztikai megközelítés

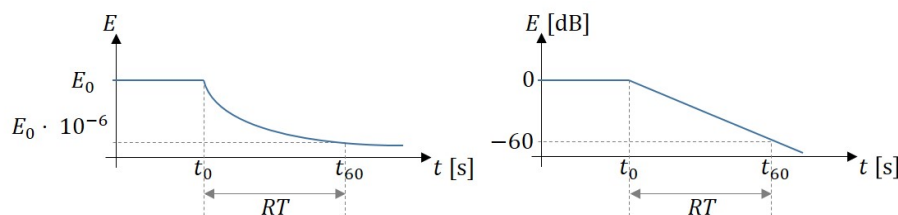
### 3.2.1. A Sabine-féle megközelítés korlátai

A Sabine-féle megközelítés egyetlen paraméterrel, az átlagos lecsengési tényezővel jellemezte a térrészt, melyet egy hangtartályként kezelt. Ez a megközelítés igen absztrakt. A valóságban a terem nem csak a falakból, hanem abban található különböző visszaverő geometriákból is áll, melyek elnyelési tényezői különbözőek lehetnek. Az ekvivalens elnyelési felület így a

$$A_s = \sum_{i=1}^{N_s} S_i \cdot \bar{\alpha}_i \quad (6)$$

összefüggéssel számolható, melyben  $N_s$  jelöli a különböző elnyelési tényezővel rendelkező felületek számát. A kapott érték behelyettesíthető a Sabine-képletbe (ld. (4) egyenlet).

Megjegyezzük, hogy a *Sabine-féle képlet nem használható* abban az esetben, ha  $\bar{\alpha} > 0,3$ , a terem túl szabálytalan vagy ha az elnyelő felületek túlságosan egyenetlenül helyezkednek el a teremben. Ezekben az



5. ábra. Az energia lecsengése a forrás kikapcsolása után ( $t_0$ ) egyensúlyi állapotból indulva.

esetekben a diffúz hangtér feltételezése nem helytálló, így más összefüggéseket vagy teremakusztikai modellezést kell alkalmazni az utózengési idő meghatározásához.

### 3.2.2. A modern teremakusztikai megközelítés

A modern teremakusztikai megközelítés lényege, hogy figyelembe veszi, hogy a hangerjedési utak minden adó és vevő elrendezésre különbözőek. A probléma tehát jobban modellezhető egy több bemenetű, több kimenetű, lineáris, időinvariáns és kauzális rendszerként, hiszen egy terem bármely pontja kivezethető adónak illetve vevőnek. Minden bemenet és kimenet között felírható impulzusválasz.

A gyakorlatban egy terem akusztikai tulajdonságait nem csak az elnyelési tényezők változtatásával lehet befolyásolni, alkalmaznak egyéb eszközöket (pl. fali hangvetőket) a hangutak módosítására. A legelterjedtebb teremakusztikai elemek a diffúzorok és a hangvetők: előbbi a geometriai visszaverődés helyett a beeső hangenergiát a tér minden irányába szórja, utóbbi pedig a hangutak módosítja, eltéríti a hangenergiát.

## 4. Az utózengési idő mérése

### 4.1. A megszakított zaj módszere

A **megszakított zaj módszere** (*Inerrupted Noise Method*, INM) szabványos mérési módszer, mely az MSZ EN ISO 3382 szabványcsoportban megtalálható. A módszer az utózengési idő definíciójából van közvetlenül levezetve. A hangforrás bekapcsolását követően megfelelő időn belül kialakul a térben az egyensúlyi állapot. Ezt követően a hangforrást határozottan kikapcsoljuk, és rögzítjük egy pontban a hangnyomásszint változását.

A mérést szélessávú mérőjellel, **rózsazajjal** végezzük, amelynek teljesítménysűrűsége a frekvenciával fordítottan,  $1/f$  szabály szerint változik, így oktávsvonként azonos energiát tartalmaz. Az utózengési idő frekvenciafüggő mennyiség, ezért a számítás során különböző frekvenciákra szükséges meghatározni, pl. oktávsvonként.

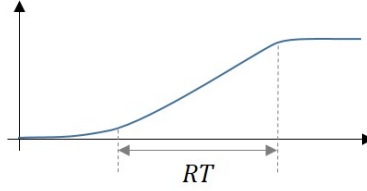
Az egyensúlyi állapot kialakulásához szükséges idő ( $t_{\text{pre}}$ ) becsülhető az egyensúlyi állapot kialakulásáig megtörtént visszaverődések számának ( $N$ ) és a azok között eltelt átlagos időnek ( $\bar{t}$ ) az ismeretében (ld. (7) egyenlet). A gyakorlatban az átlagos idő helyett becsülhető az **átlagos szabad úthossz** ( $\bar{l}$ , *mean free path*), mely két visszaverődés közötti átlagos távolságot adja meg.

$$t_{\text{pre}} = N \cdot \bar{t} = N \cdot \frac{\bar{l}}{c} \quad (7)$$

A mérések mindig zajjal terhelték, amelyek befolyásolják a mérési eredményt, mivel az alapzaj szintje minden esetben meghaladja a  $-60$  dB-es szintet. Így az  $RT$  lecsentési idő közvetlenül nem mérhető. A gyakorlatban a  $t_0$  időpontot is nehéz meghatározni, így az utózengési idő mérése esetén a 5 dB-es csökkenéshez tartozó pontot ( $t_5$ ) szokás referenciának választani. Ehhez az időponthoz képest szükséges meghatározni a 20 illetve a 30 dB-es csökkenéshez tartozó időpontokat ( $t_{25}$ ,  $t_{35}$ ). Ezeknek az értékeknek az ismeretében számítható (extrapolálható) az utózengési idő 60 dB-es csökkenéséhez tartozó értéke

$$\begin{aligned} T_{20} &= 3(t_{25} - t_5) \\ T_{30} &= 2(t_{35} - t_5). \end{aligned} \quad (8)$$

A (8) egyenletben használt jelölések mellett elterjedtek még a  $T_{20}$ ,  $T_{5-25}$  típusú jelölések is.



6. ábra. A Schroeder-integrál szemléltetése.

## 4.2. Az impulzusválasz-alapú módszer

### 4.2.1. A módszer lényege

Az **impulzusválasz-alapú módszer** abból a feltételezésből indul ki, hogy egyetlen időpillanat alatt, egyetlen pontban képesek vagyunk véges sok energiát bejuttatni a térrészbe (Dirac-impulzus). Ha feltételezzük, hogy ebben a pontban diffúz volt a tér (azaz az ott kialakuló hangnyomás-idő függvény minden pontot ugyanúgy jellemez), akkor az abban a pontban felvett impulzusválasz jellegű függvény alapján meghatározható a térrészre jellemző utózenngési idő.

A módszer egyik megközelítésben a **Schroeder-integrálnak** nevezett módszer segítségével határozza meg az utózenngési időt. A Schroeder-integrál egyfajta visszafele integrálása a mért  $h(t)$  impulzusválasz négyzetének. A kapott görbe jellemzi a hangenergia csökkenését a diffúz térben [2].

Az integrálást végrehajthatjuk a megszokott módon is:

$$E_0 = E_{\text{tot}} = \int_0^{\infty} h^2(\tau) d\tau. \quad (9)$$

Hasonlóképpen meg tudjuk mondani, hogy a  $t$  időpillanatig mennyi energia került a szobába

$$E_t = \int_0^t h^2(\tau) d\tau, \quad (10)$$

illetve a  $t$  időpillanatban mennyi a fennmaradó energia

$$E_{\text{tot}} - E_t = \int_t^{\infty} h^2(\tau) d\tau. \quad (11)$$

A korábban ismertetett és az 5. ábrán szemléltetett lecsengési görbe pontosan a (12) összefüggés alapján számítható, mivel azt ábrázolja, hogy egy adott időpontban az összenergiához képest mennyi energia maradt a teremben. A görbe az úgynevezett **energia lecsengési görbe** (*energy decay curve*, EDC) az

$$\text{EDC}(t) = 10 \lg \frac{E_{\text{tot}} - E_t}{E_{\text{tot}}} = 10 \lg \frac{\int_t^{\infty} h^2(\tau) d\tau}{\int_0^{\infty} h^2(\tau) d\tau} \quad (12)$$

összefüggéssel számítható. A Schroeder-féle megközelítéshez képest az EDC előnye, hogy mindig a 0 dB értékről indul a kapott görbe.

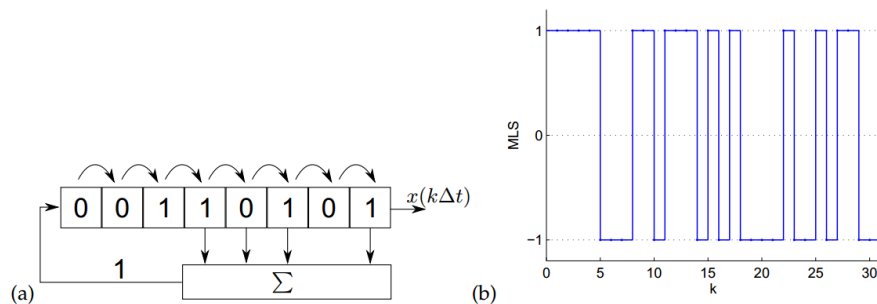
A gyakorlatban impulzusgerjesztést nem, csak impulzus-jellegű gerjesztést tudunk létrehozni. Erre szabványos módszerek a pisztoly- vagy puskalövés, és zacskópukkasztás, amelyek viszonylag nagy energiájú és széles frekvenciatartalmú impulzus-jellegű gerjesztést jelentenek.

Megjegyezzük, hogy a gyakorlatban a kauzális, lineáris és időinvariáns modell feltételezés nem mindig valósul meg. Míg a kauzalitás feltétele nem sérül, nemlinearitást (torzítást) vihetnek a rendszerbe az alkalmazott eszközök. Ez a probléma kiküszöbölhető, ha megfelelő tartományban üzemeltetjük őket. Kritikusabb feltétel az időinvariancia. Abban az esetben például, ha a teremben tartózkodó személyek mozognak mérés közben, ez azt eredményezi, hogy a visszaverő-felületek mozognak, így nem tekinthető a rendszer időinvariánsnak. Az időinvariancia akkor is sérülhet, ha senki sem tartózkodik a teremben, de valamilyen okból adódóan (pl. fűtés, klíma, nyomáskülönbség) légmozgás van. A mozgó közeg nem tekinthető időinvariánsnak. Ebben az esetben a mérés hitelessége megkérdőjelezhető.

Abban az esetben, ha az impulzusválasz függ a bemeneti és kimeneti pontokmegválasztásától, az utózenngési idő is helyfüggő lesz, ezért a szabvány megadja, hogy hány pontban kell mérni és mennyit kell átlagolni.

#### 4.2.2. Az impulzusválasz mérése<sup>1</sup>

**Az MLS jel** Az impulzusválasz pontosabb mérésére speciális szélessávú mérőjelet, az úgynevezett maximális hosszúságú sorozatot (*Maximum Length Sequence*, MLS-jel) használunk. Az MLS jel úgynevezett álvéletlen jel, ami azt jelenti, hogy noha a jel determinisztikus algoritmussal generálható és ismételhető, mégis sok tulajdonsága a zajjelre emlékeztet. Az MLS jel bináris mérőjel, vagyis olyan jel, melynek értéke két állapot között váltakozik. A jel generálására alkalmas eszköz bloksémáját a 7(a). ábra mutatja. Az ábra egy  $N = 8$ -bites léptető (shift) regisztert mutat, melynek bitjeit minden mintavételi ciklusban – vagyis  $\Delta t$  időközönként – eggyel jobbra léptetjük. A shift regiszter néhány bitje egy bináris összegzőbe van vezetve, melynek kimenete lesz a következő ciklusban a shift regiszter 1. bitje. A bináris mérőjel mintáit a shift regiszter utolsó, nyolcadik bitje adja. A rendszert adott kezdeti állapotba helyezve majd magára hagyva, automatikusan generálja a mérőjel mintáit.



7. ábra. (a)  $N = 8$ -bites MLS jel generálása. (b)  $N = 5$ -bites MLS jel egy periódusa.

A shift regiszter aktuális állapota egyértelműen meghatározza a következő állapotot. Ebből következik, hogy ha a shift regiszter az  $M$ -edik időlépésben visszatér a kezdeti állapotba, akkor az  $M$ -edik ütemtől kezdve a kimenő jelsorozat ismétlődik, és egy  $M$ -periodikus kimeneti jelet kapunk. A lehető legnagyobb  $M$  érték, ami előtt a shift regiszter csupa különböző állapotban megy át  $M = 2^N - 1$ , ahol a  $2^N$  tag az  $N$  biten ábrázolható összes különböző érték száma, amiből ki kell vonnunk a csupa 0 bitet tartalmazó állapotot, amelyből a rendszer a konstrukcióból adódóan nem mozdul ki.

A maximális  $M$  érték a visszacsatolt bitek helyes megválasztásával érhető el, ekkor a jelet maximális hosszúságú sorozatnak (MLS – *Maximal Length Sequence*) hívjuk. A különböző bitszámú MLS-generátorok konfigurációja táblázatokban megtalálható, a gyakorlatban tipikusan  $N = 10$ – $20$ -bites MLS jeleket alkalmaznak. A 7. ábra  $N = 5$ -bites MLS jel egy periódusát mutatja. A periódus hossza  $M = 2^5 - 1 = 31$ . Figyeljük meg, hogy praktikus okokból az MLS jel nem 0 és 1, hanem  $-1$  és  $1$  értékeket vesz fel.

**Az MLS jel alkalmazása az impulzusválasz mérésére** Az MLS jel fontos tulajdonsága, hogy autokorrelációs függvénye<sup>2</sup> nagyon jól közelíti a diszkrét Dirac-delta függvényt. Az MLS mérőjellel elvégzett mérés után rendelkezésünkre állnak az  $x_k$  MLS-minták és a rendszer válaszában  $y_k = \mathcal{H}\{x_k\}$  mintái. Határozzuk meg az  $y_k \oplus x_k$  keresztkorrelációt:

$$y_k \oplus x_k = \mathcal{H}\{x_k\} \oplus x_k \quad (13)$$

A rendszer linearitása miatt a keresztkorreláció művelete bevihető a  $\mathcal{H}$  lineáris operátor argumentumába:

$$y_k \oplus x_k = \mathcal{H}\{x_k \oplus x_k\} \approx \mathcal{H}\{\delta_k\} = h_k. \quad (14)$$

Vagyis az MLS jellel gerjesztett rendszer válaszában és gerjesztésének cirkuláris keresztkorrelációja megadja a rendszer  $h(t)$  impulzusválaszában  $h_k$  mintáit.

Az MLS-mérés lényeges előnye az impulzusszerű jellel való méréssel szemben, hogy sokkal pontosabb, és jel-zaj viszonya is lényegesen jobb, hiszen megfelelően hosszú MLS-jel választásával tetszőlegesen sok energia vihető a rendszerbe. A MLS-mérés hátránya, hogy nagyon érzékeny a torzításra. Abban az esetben, ha a torzítás jelentős, akkor seprert szinuszos mérőjelet alkalmazunk.

<sup>1</sup>Az alfejezet a „Elektroakusztikai eszközök mérés technikája” című mérési útmutatóból lett átvéve, melyet Hangmérnöki ismeretek tárgy hallgatói számára Fiala Péter és Rucz Péter dolgozott ki.

<sup>2</sup>pontosabban cirkuláris autokorrelációja

## 5. Ellenőrző kérdések

1. Mekkora a hangintenzitás különbsége két mérési pont között, ha szabad hangtérben  $r$  illetve  $2r$  távolságban helyezük el őket a pontforrástól? A választ dB-ben adja meg!
2. Mennyi idővel később érkezik meg a visszavert úton a hang a forrásból a vevőbe az 1. ábra adatai alapján? Az eredményt a forrás és a vevő távolságának függvényében adja meg, feltételezve, hogy a forrás és a vevő azonosan 1 m magasságban helyezkedik el a sík fölött! (A hang levegőben való terjedési sebessége megközelítőleg 342 m/s.)
3. Mit nevezünk diffúz hangtérnek?
4. Adja meg a beszéd célú hangtisztaság képletét, és értelmezze a paramétereket!
5. Adja meg a zenei célú hangtisztaság képletét, és értelmezze a paramétereket!
6. Ismertesse a Sabine-féle megközelítés lényegét!
7. Mit nevezünk utózungési időnek?
8. Adott egy  $20\text{ m} \times 30\text{ m} \times 5\text{ m}$  méretű terem. Mekkora a terem elnyelési képessége, ha az átlagos elnyelési tényező  $\bar{\alpha} = 10\%$ ?
9. Becsülje meg egy  $25\text{ m} \times 25\text{ m} \times 15\text{ m}$  méretekkal rendelkező üres, ideális terem utózungési idejét, ha az átlagos elnyelési tényező  $10\%$ !
10. Adja meg az egyensúlyi állapot kialakulásához szükséges időt, ha feltételezi, hogy 100 visszaverődés elegendő annak kialakulásához, és a vizsgált teremben az átlagos szabad úthossz 15 m!
11. Határozza meg az ideális Sabine-féle modellben a beszédcélú hangtisztaságot a zenei célú hangtisztaság ismeretében!
12. Hogyan változik a 9. feladatban megadott teremben a becsült utózungési idő, ha 100 ember tartózkodik benne? (Egy ember  $0,5\text{ m}^2$  ekvivalens elnyelési felülettel becsülhető.)
13. Határozza meg a beszéd célú hangtisztaságot a 9. feladatban szereplő teremhez!
14. Határozza meg a zenei célú hangtisztaságot a 9. feladatban szereplő teremhez!
15. Ismertesse a megszakított zaj módszer lényegét!
16. Ismertesse az impulzusválasz-alapú mérési módszer lényegét!
17. Mi az MLS jel?

## Hivatkozások

- [1] SABINE, W. *Collected Papers on Acoustics*. Harvard University Press, 1922.
- [2] SCHROEDER, M. R. New method of measuring reverberation time. *The Journal of the Acoustical Society of America* 37, 6 (jun 1965), 1187–1188.